

## Effect of Aloe Vera Gel on the Physicochemical, Rheological, and Sensory Properties of Low-Fat Mayonnaise

M. Akbari<sup>1</sup>, M.J. Varidi<sup>1</sup> <sup>2\*</sup>, M. Varidi<sup>2</sup> <sup>2</sup>, H. Yarabbi<sup>3</sup>

1, 2 and 3- Master's Degree, Professor and Ph.D., Department of Food Science and Technology, Faculty of Agriculture, Ferdowsi University of Mashhad, Mashhad, Iran, respectively.

(\*- Corresponding Author Email: [mjvaridi@um.ac.ir](mailto:mjvaridi@um.ac.ir))

Received: 08.08.2024  
Revised: 07.10.2024  
Accepted: 13.10.2024  
Available Online: 16.02.2025

### How to cite this article:

Akbari, M., Varidi, M.J., Varidi, M., & Yarabbi, H. (2025). Effect of Aloe Vera Gel on the Physicochemical, Rheological, and Sensory Properties of Low-Fat Mayonnaise. *Iranian Food Science and Technology Research Journal*, 21(1), 61-77. (In Persian with English abstract). <https://doi.org/10.22067/ifstrj.2024.89260.1354>

### Introduction

Mayonnaise is one of the world's most popular sauces. It is a semi-solid oil-in-water emulsion made by mixing vegetable oil, egg yolk, water, vinegar, and other ingredients. Due to the high calorie and cholesterol content of egg yolks, excessive consumption of mayonnaise can lead to health-related problems. Major issues faced by mayonnaise producers include fat oxidation during storage, which leads to off-flavor and taste, as well as reduction in nutritional value and food safety. These factors may negatively affect on the consumer acceptance of mayonnaise. With increasing consumer demand for low-fat and low-cholesterol foods, low-fat mayonnaise has significant consumption potential. One of the consumer demands is to reduce the fat content in mayonnaise and salad dressing. Fats play many functional roles in food emulsions, contributing to the taste, appearance, texture, and shelf life of the product in specific ways. Therefore, it is challenging to maintain the quality of traditional products when preparing low-fat foods. It is possible to select specific fat substitutes in particular amounts to create a product with a texture similar to traditional mayonnaise. Light mayonnaise often contains certain fats added to help stabilize the emulsion and thicken its consistency. This research studied the possibility of using aloe vera gel as partial fat substitute in mayonnaise.

### Materials and Methods

All the powdered ingredients were mixed together with eggs, water, and half of the required amount of vinegar in a blender for 3 minutes. To form an emulsion, oil was added in two stages while stirring together with starch and gums for 5 minutes. Mixing oil and the aqueous phase simultaneously leads to the formation of a water-in-oil emulsion. Finally, the remaining vinegar was added and mixed for 3 minutes until the fat particles were evenly dispersed in the sauce. Aloe Vera gel was also added in proportion to the reduction of oil according to the formulation of the samples. The optimal mixture design was used for three independent variables: oil A 15-60%, gel B 0-55%, and water C 0-10%. The multiple combinations of these variables led to an experimental design with 16 samples that were determined using Design Expert software, and the physicochemical, rheological, and textural characteristics of the samples were investigated. Additionally, suitable regression equations and mixed contour diagrams were obtained by this software for each response.

### Results and Discussion

The results showed that increasing the replacement percentage of aloe vera gel and decreasing the percentage of oil led to an increase in pH and a decrease in acidity, stability, textural properties, and transparency of the samples. To describe the rheological properties, Bingham's model was used, and the viscosity parameters and Bingham's yield stress were investigated with an increasing the percentage of aloe vera gel replacement.



©2025 The author(s). This is an open access article distributed under [Creative Commons Attribution 4.0 International License \(CC BY 4.0\)](https://creativecommons.org/licenses/by/4.0/).

<https://doi.org/10.22067/ifstrj.2024.89260.1354>

Additionally, the apparent viscosity of the samples exhibited a decreasing trend and thinning behavior with shear. These changes in characteristics are attributed to the effect of adding fat to the mayonnaise formulation. The optimal values of independent variables in the production of low-fat mayonnaise were oil (40%), aloe vera gel (30%) and water (0%), respectively.

### **Conclusion**

This research showed that aloe vera gel can be used in the formulation of mayonnaise as a partial substitute to oil. Due to the strong demand from consumers for this product, reformulating this high-fat emulsion is a fundamental need in the food industry. The use of aloe vera gel offers many benefits, including reducing cholesterol and fat levels overall, increasing microbiological stability, and, in some cases, lowering manufacturing costs.

### **Acknowledgement**

Thanks to the staff and research and educational officials of Ferdowsi University of Mashhad (Project Code: 2663532).

**Keywords:** Aloe vera gel, Low fat, Mayonnaise, Optimization

## مقاله پژوهشی

جلد ۲۱، شماره ۱، فروردین-اردیبهشت ۱۴۰۴، ص. ۶۱-۷۷

# اثر ژل آلوه‌ورا بر خصوصیات فیزیکوشیمیایی، رئولوژیکی و حسی سس مایونز کم چرب

مریم اکبری<sup>۱</sup> - محمد جواد وریدی<sup>۲</sup> - مهدی وریدی<sup>۳</sup> - هانیه یاربی<sup>۳</sup>

تاریخ دریافت: ۱۴۰۳/۰۵/۱۸

تاریخ پذیرش: ۱۴۰۳/۰۷/۲۲

### چکیده

سس مایونز یکی از سس‌های پرطرفدار در جهان است که یک امولسیون نیمه جامد روغن در آب است که از مخلوط کردن روغن نباتی، زرده تخم‌مرغ، آب، سرکه و غیره تهیه می‌شود. به دلیل کالری و کلسترول بالای زرده تخم‌مرغ مصرف بیش از حد سس مایونز اغلب باعث مشکلات مرتبط با سلامتی می‌شود. مشکلات عمده‌ای که تولیدکنندگان سس مایونز با آن مواجه هستند شامل اکسیداسیون چربی در طول ذخیره‌سازی است که منجر به طعم بد محصول و همچنین کاهش ارزش غذایی و ایمنی مواد غذایی می‌شود. این عوامل ممکن است پذیرش مصرف‌کننده از سس مایونز را کاهش دهد. با افزایش تقاضای مصرف‌کنندگان برای غذاهای کم‌چرب و کم‌کلسترول، سس مایونز کم‌چرب پتانسیل مصرف بالایی دارد. لذا اصلاح فرمولاسیون این امولسیون پرچرب نیاز اساسی در صنعت غذا است. در این پژوهش امکان استفاده از ژل آلوه‌ورا به‌عنوان جایگزین چربی در سس مایونز مورد مطالعه قرار گرفت. بدین منظور از طرح مخلوط بهینه برای سه متغیر مستقل روغن A (%۶-۱۵)، ژل B (%۵۵-۰) و آب C (%۱۰-۰) استفاده شد. ترکیب چندانگانه از این متغیرها منجر به یک طرح آزمایشی با ۱۶ نمونه گردید که با استفاده از نرم‌افزار Design Expert تعیین شدند، و ویژگی‌های فیزیکوشیمیایی، رئولوژیکی و بافتی نمونه‌ها مورد بررسی قرار گرفتند. همچنین معادلات رگرسیونی مناسب و نمودار کانتور مخلوط به‌وسیله این نرم‌افزار برای هر پاسخ به‌دست آمد. نتایج نشان داد که افزایش درصد جایگزینی ژل آلوه‌ورا و کاهش درصد روغن منجر به افزایش pH و کاهش اسیدیته، پایداری، خواص بافتی و شفافیت نمونه‌ها گردید. به‌منظور توصیف خواص رئولوژیکی از مدل بینگهام استفاده شد و بررسی پارامترهای ویسکوزیته و تنش تسلیم بینگهام با افزایش درصد جایگزینی ژل آلوه‌ورا، روند کاهشی داشت. همچنین ویسکوزیته ظاهری نمونه‌ها سیر نزولی و رفتار رقیق شونده با برش نشان داد. این تغییرات در ویژگی‌ها، به‌دلیل تأثیر بسزای چربی در فرمولاسیون سس مایونز می‌باشد. براساس نتایج بدست آمده، مقادیر بهینه متغیرهای مستقل به‌ترتیب روغن (%۴۰)، ژل آلوه‌ورا (%۳۰) و آب (%۰) جهت تولید مایونز کم‌چرب بود. بهینه‌سازی فرمولاسیون براساس متغیرهای مستقل و پاسخ‌های بهینه‌یابی نشان داد که ژل آلوه‌ورا به‌تنهایی در حد %۳۰ قابلیت استفاده در سس مایونز را دارد. بنابراین، ژل آلوه‌ورا قابلیت استفاده در سس مایونز به‌عنوان جایگزین بخشی از روغن را دارا می‌باشد.

**واژه‌های کلیدی:** بهینه‌سازی، ژل آلوه‌ورا، سس مایونز، کم‌چرب

### مقدمه

زیرا موجب بروز بیماری‌هایی چون چاقی، تصلب شرائین و نارسایی‌های قلبی می‌شود (Park et al., 2020). از این‌رو، در طول دهه گذشته، مصرف محصولات کم‌چرب اهمیت فراوانی پیدا کرده است و تولیدکنندگان در راستای پاسخ به این نیاز مصرف‌کنندگان، به‌دنبال تولید محصولات کم‌چرب می‌باشند که مایونز کم‌چرب یکی از این موارد است (Kaneda & Shibata, 2020). چنانچه میزان چربی به ۴۰-۵۵٪ کاهش یابد، سس مایونز با چربی کاهش یافته نامیده می‌شود و اگر به ۲۰-۳۳٪ کاهش یابد، سس مایونز کم‌چرب محسوب می‌شود. باتوجه

سس مایونز، امولسیون نیمه‌جامد روغن در آب است که از امولسیون شدن روغن‌های گیاهی خوراکی (حداقل ۶۵٪) در یک فاز مایع حاوی سرکه به وجود می‌آید و توسط ترکیبات امولسیفایری موجود در زرده تخم‌مرغ پایدار می‌گردد. pH آن نیز بین ۳/۶-۴ است (Majidova et al., 2024). این محصول در سال‌های اخیر به‌عنوان چاشنی و عامل اشتهاآور، در کنار غذاها مصرف فراوانی پیدا کرده است، ولی به‌علت بالا بودن مقادیر فراوان روغن، مصرف زیاد این فرآورده توصیه نمی‌شود؛

۱، ۲ و ۳ - به ترتیب کارشناسی ارشد، استاد و دکتری گروه علوم و صنایع غذایی، دانشکده کشاورزی، دانشگاه فردوسی مشهد، مشهد، ایران

(\* - نویسنده مسئول: Email: [mjvaridi@um.ac.ir](mailto:mjvaridi@um.ac.ir))

و چسبناک می‌باشند (Adhav et al., 2020). این ژل که عمده‌ترین بخش مورد استفاده گیاه است؛ شامل آب (بیش از ۹۸٪) و همچنین ترکیبات پلی‌ساکاریدی نظیر پکتین، سلولز، همی سلولز، گلوکومانان و مانوز می‌باشد، بنابراین به دلیل حضور پلی‌ساکاریدهای مختلف که سبب جذب آب زیادی می‌شوند، ژل آلوتهورا می‌تواند بر روی قوام و گرانبوی محصول نقش مؤثری داشته باشد (Sonawane et al., 2021). با توجه به موارد فوق، هدف از این مطالعه بهینه سازی سس مایونز کم‌چرب با استفاده از ژل آلوتهورا به‌عنوان جانشین قسمتی از چربی می‌باشد. برای این منظور خصوصیات فیزیکی‌شیمیایی، رئولوژیکی و حسی نمونه‌های مایونز تهیه شده در غلظت‌های مختلف ژل آلوتهورا بررسی شد.

### مواد و روش‌ها

مواد اولیه شامل روغن مایع آفتابگردان، تخم مرغ، سرکه سفید گلچکان زمانی (۵٪ اسیدیته)، پودر خردل، نمک، شکر، صمغ زانتان و گوار، نشاسته، آب، آبلیمو، فلفل و ژل آلوتهورا از بازار روز مشهد خریداری شدند که درصد هر یک از اجزاء فرمولاسیون در جدول ۱ ذکر شده است (Raikos et al., 2020). برگ‌های آلوتهورا نیز از گلخانه دانشکده کشاورزی دانشگاه فردوسی مشهد تهیه گردید.

جدول ۱- اجزاء فرمولاسیون سس مایونز

Table 1- Mayonnaise formulation components

مواد اولیه Raw materials	درصد Percentage (w/w)
Eggs تخم مرغ	10
Oil روغن	60
Vinegar سرکه	6
Lemon juice آبلیمو	1.5
Salt نمک	0.6
Mustard powder پودر خردل	0.4
Pepper فلفل	0.2
Sugar شکر	3
Water آب	12.3
Xanthan Gum صمغ زانتان	0.5
Guar gum صمغ گوار	0.5
Starch نشاسته	5

### تهیه سس مایونز

ابتدا کلیه مواد پودری به‌همراه تخم مرغ، آب و یک‌دوم میزان سرکه مورد نیاز درون مخلوط‌کن به‌مدت ۳ دقیقه هم‌زده شدند. سپس روغن به‌منظور تشکیل امولسیون به‌تدریج، در طی دو مرحله در حین هم‌زدن

به نقش چربی در فرمولاسیون سس مایونز و تأثیر به‌سزای آن در ایجاد طعم، با کاهش میزان چربی در این فرآورده، ویژگی‌های حسی و رئولوژیکی به‌شدت تغییر می‌کنند (Blok et al., 2023). بنابراین، موضوع جایگزین کردن بخشی از روغن با موادی که بتوانند نقش روغن را در فرمولاسیون سس مایونز داشته باشند، ضروری می‌باشد. تاکنون به‌عنوان جایگزین چربی اغلب از انواع صمغ‌ها و پروتئین‌ها استفاده شده است. این ترکیبات با افزایش ویسکوزیته و قوام فاز پیوسته مانع تحرک قطرات روغن شده و از به‌هم پیوستن آن‌ها جلوگیری می‌کنند، به این ترتیب باعث تثبیت امولسیون می‌شوند، همچنین با تشکیل لایه‌های بین سطحی قوی در اطراف ذرات فاز پراکنده (روغن) به‌عنوان پایدارکننده عمل می‌کنند (Park et al., 2020; Jafarpour, 2022). نتایج تحقیقات پارک و همکاران (Park et al., 2020) نشان داد که نشاسته اصلاح‌شده، اکتیل سوکسینیک انیدرید-نشاسته و اسید سیتریک-نشاسته در ۳۰٪ به‌عنوان جایگزین جزئی چربی تنش عملکرد بالا را نشان دادند. مدول الاستیک (G') سس مایونزهای کم‌چرب کمتر از سس مایونز پرچرب بود، اما سس مایونز با نشاسته اصلاح شده، انیدرید اکتیل سوکسینیک-نشاسته و اسید سیتریک -نشاسته G' بالاتری نسبت به سایر نشاسته‌های اصلاح‌شده داشتند. سس مایونزهای کم‌چرب، پایداری امولسیونی بالاتری نسبت به پرچرب نشان دادند، به‌ویژه آنهایی که دارای نشاسته اصلاح‌شده، اکتیل سوکسینیک انیدرید-نشاسته و اسید سیتریک-نشاسته بودند. تقوی و همکاران (Taghavi et al., 2024) از نشاسته اصلاح‌شده برنج (۱۰، ۳۰ و ۵۰٪) در فرمولاسیون سس مایونز کم‌چرب استفاده کردند. نتایج آنها نشان داد که تا ۳۰٪ جایگزینی روغن با نشاسته اصلاح شده برنج، پایداری امولسیون سس مایونز به خوبی حفظ می‌شود. اودپ و همکاران (Odep et al., 2024) خواص شیمیایی-شیمیایی و حسی جایگزین سس مایونز تهیه شده از موسیلاژ چیا (*Salvia hispanica* L.) در سطوح ۱۵، ۳۰، ۴۵ و ۶۰٪ و صمغ عربی ۳٪ را بررسی کردند. این محققین گزارش کردند که تمامی سس مایونزهای کم‌چرب، انرژی به میزان ۴۹۳ کیلوکالری در ۱۰۰ گرم و ۲۰٪ چربی داشتند، اما محتوای آب بالاتری ۰/۷۴ نسبت به نمونه شاهد (سس مایونز پرچرب) با ۷۸۴ کیلوکالری در ۱۰۰ گرم کالری، ۷۷٪ چربی و ۰/۳۹ رطوبت بودند. این تفاوت‌ها با افزایش سطوح جایگزینی موسیلاژ چیا افزایش یافت که بر pH، کربوهیدرات و پروتئین تأثیر گذاشت. تفاوت معنی‌داری بین میزان خاکستر برای سس مایونز کم‌چرب و شاهد وجود نداشت.

آلوتهورا گیاهی چندساله از راسته Asparagales تیره Liliaceae می‌باشد که بومی مناطق حاره آفریقا است. این گیاه دارای دو محصول اصلی، شامل بخش مایع، حاوی تراوش‌های زرد رنگ و تلخ‌مزه و بخش نیمه جامد، حاوی سلول‌های بافت پاراننشیمی برگ، که دارای ژلی شفاف

مخلوط گردید تا ذرات چربی به‌طور یکنواخت در سس پراکنده شوند (Yang *et al.*, 2020). ژل آلوئه‌ورا نیز به نسبت کاهش روغن مطابق جدول ۲ اضافه گردید.

به‌همراه نشاسته و صمغ‌ها در مدت‌زمان ۵ دقیقه اضافه گردید. مخلوط کردن روغن و فاز آبی به‌یکباره منجر به تشکیل امولسیون آب در روغن می‌شود. در نهایت باقی‌مانده سرکه افزوده شد و در مخلوط‌کن KENWOOD مدل 43M3 با دور ۱۰۰۰۰ rpm به‌مدت ۳ دقیقه

جدول ۲- مشخصات تیمارها در فرمولاسیون سس مایونز کم چرب

Table 2- Characteristics of treatments in the formulation of low-fat mayonnaise

نمونه Sample	(A%) روغن Oil	(B%) ژل آلوئه‌ورا Aloe vera gel	(C%) آب Water
1	60	10	0
2	15	49.099	5.901
3	42.128	17.872	10
4	38.248	27.861	3.890
5	60	0	10
6	32.313	37.687	0
7	60	10	0
8	50.674	19.326	0
9	20.302	39.698	10
10	20.302	39.698	10
11	38.248	27.861	3.890
12	51.072	8.928	10
13	15	55	0
14	60	0	10
15	24.246	45.754	0
16	15	49.099	5.901

۳۰ دقیقه در حمام آب با دمای ۸۰ °C قرار داده شدند و سپس به‌مدت ۳۰ دقیقه در ۵۰۰۰ rpm سانتریفیوژ گردیدند (Li *et al.*, 2020).  
(حجم کل امولسیون)/(حجم امولسیون باقیمانده) = پایداری فیزیکی امولسیون × ۱۰۰

### خواص رئولوژیکی

به‌منظور اندازه‌گیری ویژگی‌های رئولوژیکی از ویسکومتر دورانی بوهلین (UK- Malvern-Visco 88) مجهز به سیرکولاتور حرارتی استفاده گردید. با توجه به ویسکوزیته نمونه‌ها، از اسپیندل باب و کاپ C<sub>۲۵</sub> جهت انجام آزمون‌ها استفاده شد. برای هر آزمون تقریباً ۱۲ g از نمونه در داخل کاپ ریخته شد سپس در تماس با باب و سیرکولاتور قرار گرفت. پس از رسیدن به دمای ۲۵ °C، دامنه درجه برش ۱۴- s<sup>-۱</sup> ۳۰۰ بر ثانیه اعمال شد و داده‌های مربوط به تنش برشی-درجه برشی (منحنی‌های جریان) به‌دست آمد. دستگاه ویسکومتر مجهز به نرم‌افزار کامپیوتری بوده و شرایط کاری آن کاملاً قابل کنترل بود. به‌منظور توصیف رفتار جریان نمونه‌های مایونز و به‌دست آوردن پارامترهای رئولوژیکی از مدل بینگهام به‌شرح ذیل استفاده گردید.

$$\tau = k\dot{\gamma} + \tau_0$$

### آزمون‌های فیزیکوشیمیایی

#### pH و اسیدیته

۵ g از نمونه در ۲۰ mL مقطر رقیق شد و سپس با استفاده از pH متر (Swiss Metrohm-827)، pH آن اندازه‌گیری گردید (Li *et al.*, 2020). جهت تعیین اسیدیته نیز، نمونه رقیق شده با استفاده از سود ۰/۱ نرمال در حضور معرف فنل فتالئین تا ظهور رنگ صورتی روشن تیترا شد. سپس اسیدیته برحسب اسید استیک محاسبه گردید (Yang *et al.*, 2020). در این فرمول *a* حجم سود مصرفی (mL) و *s* وزن نمونه (g) می‌باشد.

$$s = (0/006a \times 100) / \text{اسیدیته}$$

#### پایداری فیزیکی و حرارتی

حجم مشخصی از نمونه‌های سس مایونز به‌مدت ۳۰ دقیقه در ۵۰۰۰ rpm سانتریفیوژ (Eppendorf-5430, Germany) شدند و سپس مقدار شاخص پایداری فیزیکی امولسیون با توجه به حجم امولسیون باقی‌مانده، محاسبه گردید. همچنین جهت تعیین ثبات مایونز در برابر حرارت مراحل قبل تکرار و نمونه‌ها قبل از سانتریفیوژ، به‌مدت

$$Y = \beta_1 X_1 + \beta_2 X_2 + \beta_3 X_3 + \beta_{12} X_1 X_2 + \beta_{13} X_1 X_3 + \beta_{23} X_2 X_3$$

## نتایج و بحث pH و اسیدیته

باتوجه به معادله  $Y_1$  در جدول ۱ پیوست، متغیرهای روغن، ژل و آب تأثیر خطی معنی‌داری در سطح احتمال ( $p < 0.001$ ) و متغیرهای روغن-ژل (AB) تأثیر متقابل معنی‌داری در سطح احتمال ( $p < 0.05$ ) دارند. با افزایش درصد جایگزینی ژل آلوئه‌ورا و کاهش درصد روغن در نقطه مرکزی متغیر سوم (آب)، pH افزایش یافته است (شکل ۱). این تغییر به دلیل کاهش غلظت یون هیدروژن در اثر pH ژل آلوئه‌ورا است که در محدوده (۴-۵) می‌باشد، زیرا محیط سس مایونز حالت بافری ندارد (Li et al., 2020). با این حال، با توجه به شکل ۱، pH نمونه‌ها در محدوده استاندارد قرار داشت. از طرفی افزایش pH را می‌توان به افزایش فاز آبی نسبت داد، چون بیش از ۹۹-۹۸٪ ژل آلوئه‌ورا را آب تشکیل می‌دهد که جزء اصلی ژل می‌باشد که با نتایج شایگان نیا و همکاران (Shaygannia et al., 2021) که استدلال کردند به واسطه وجود آب زیاده‌تر و در نتیجه رقیق شدن اسید میزان pH نمونه‌های کم‌چرب بیشتر است، مطابقت داشت. نتایج مدل آزمون اسیدیته در جدول ۱ پیوست، نشان‌دهنده معنی‌داری تأثیر متقابل روغن-ژل (AB) در سطح احتمال ( $p < 0.001$ ) بود. براساس شکل ۱ اسیدیته می‌توان دریافت که اثر متقابل روغن-ژل روند کاهشی داشته است. با افزایش درصد جایگزینی ژل آلوئه‌ورا و کاهش درصد روغن در نقطه مرکزی متغیر سوم (آب)، اسیدیته کاهش یافته است، که با نتایج به دست آمده از آزمون pH مطابقت داشت. دلیل کاهش اسیدیته، کاهش غلظت اسیدهای آلی در پی افزایش فاز آبی حاصل شده می‌باشد. دامیان و همکاران (Damian et al., 2018) نیز دریافتند که سس مایونزهای کم‌چرب ارزش کالری کمتر، فعالیت آبی و مقادیر pH بالاتری نسبت به سس مایونز نمونه شاهد داشتند.

### ویژگی‌های رئولوژیکی

شکل ۲، رفتار جریان برخی نمونه‌های سس مایونز را برحسب تنش برش - درجه برش نشان می‌دهد. از آنجایی که رابطه بین تنش برش - درجه برش غیرخطی است، بنابراین نمونه‌های سس مایونز از نظر رئولوژیکی جزء سیالات غیرنیوتنی طبقه‌بندی می‌شوند، در این پژوهش از مدل قانون بینگهام برای توصیف رفتار جریان رئولوژیکی مستقل از زمان نمونه‌ها استفاده شد.

در مدل فوق ( $\tau$ ) تنش برشی (Pa)، ( $\dot{\gamma}$ ) سرعت برشی ( $s^{-1}$ )،  $k$  ویسکوزیته بینگهام (Pa.s) می‌باشد. به منظور ارزیابی حسی و احساس دهانی، ویسکوزیته ظاهری در سرعت برشی  $50 s^{-1}$  گزارش شد (Ozcan et al., 2023).

### رنگ‌سنجی

جهت اندازه‌گیری رنگ، از دستگاه (Minolta Konica, CR-) (410, Japan) استفاده شد. طی این آزمون پارامترهای رنگ ( $L^*$ ،  $a^*$  و  $b$ ) تعیین شد (Blok et al., 2023).

### ویژگی‌های بافتی

به منظور سنجش بافت نمونه‌ها از دستگاه آنالیز بافت (TAXT plus, England) استفاده شد. آزمون به روش اکستروژن برگشتی و با استفاده از ظرف اندازه‌گیری با ارتفاع ۵۵ mm و قطر داخلی ۴۵ mm و پروب با قطر ۳۵ mm انجام شد. سرعت نفوذ پروب به داخل نمونه ۱ mm/s و عمق نفوذ آن ۲۰ mm در نظر گرفته شد. با استفاده از منحنی نیرو-زمان، صفات بافتی شامل سفتی<sup>۱</sup>، قوام<sup>۲</sup>، نیروی چسبندگی<sup>۳</sup> و چسبندگی (اندیس ویسکوزیته<sup>۴</sup>) به دست آمد (Jafarpour, 2022).

### ارزیابی حسی

تعداد ۱۲ نفر به عنوان ارزیاب انتخاب شدند. جهت ارزیابی حسی، از مقیاس هدونیک ۵ نقطه‌ای استفاده شد که در آن عدد ۱ نشان‌دهنده پایین‌ترین امتیاز و عدد ۵ نیز بیانگر بالاترین امتیاز است. شاخص‌های حسی شامل ظاهر (شفافیت و یکنواختی)، رنگ، طعم، بو، بافت و پذیرش کلی هر نمونه مورد ارزیابی قرار گرفت (Li et al., 2020).

### آنالیز آماری

در این پژوهش به منظور بررسی تأثیر متغیرهای مستقل روغن (A)، ژل آلوئه‌ورا (B) و آب (C) بر پاسخ‌ها از نمودار مخلوط اپتیمال<sup>۵</sup> استفاده شد. دامنه تغییرات روغن ۶۰-۱۵٪، ژل آلوئه‌ورا ۵۵-۰٪ و آب ۱۰-۰٪ بود. در همه نمونه‌ها مجموع ۳ متغیر ۷۰٪ در نظر گرفته شد. برای طراحی آزمایش‌ها و تجزیه و تحلیل نتایج، از نرم‌افزار Design Expert (نسخه ۱۰) استفاده شد. از مدل درجه دو برای برازش پاسخ‌های حاصل استفاده گردید. به منظور ارزیابی صحت مدل، مقادیر  $R^2$ ،  $R^2$  تصحیح شده و  $p$  ضرایب تعیین شدند.

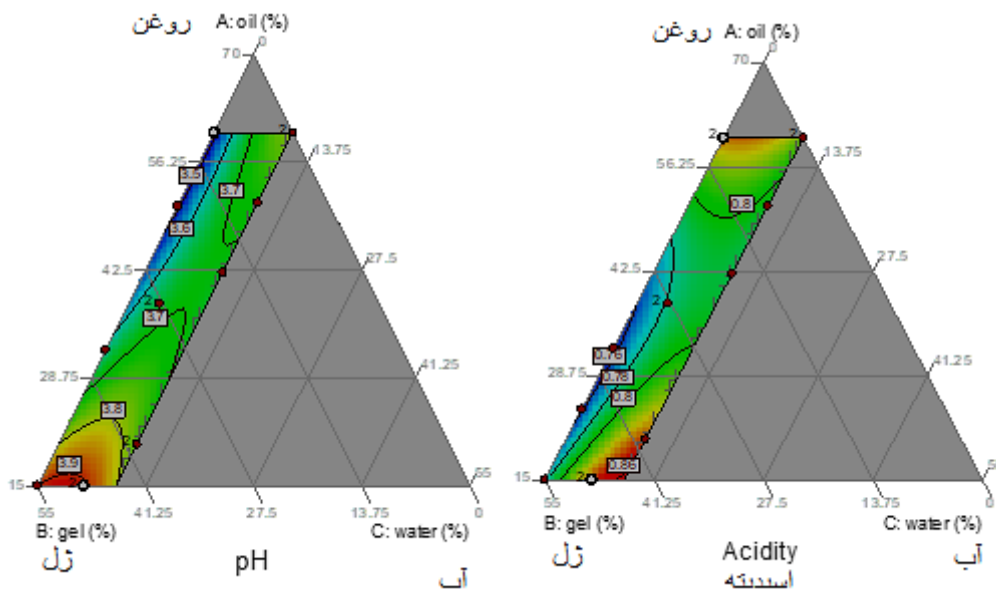
4- Viscosity  
5- Optimal Mixture Design

1- Firmness  
2- Consistency  
3- Cohesiveness

بودند. بنابراین براساس معادله  $Y_3$  و  $Y_4$  در جدول ۱ پیوست و شکل ۳،  $a$  و  $b$  که نشان‌دهنده تأثیر متقابل روغن-ژل می‌باشد با افزایش درصد جایگزینی ژل آلونه‌ورا و کاهش درصد روغن در نقطه مرکزی متغیر سوم (آب) ویسکوزیته و تنش تسلیم بینگهام کاهش یافته است.

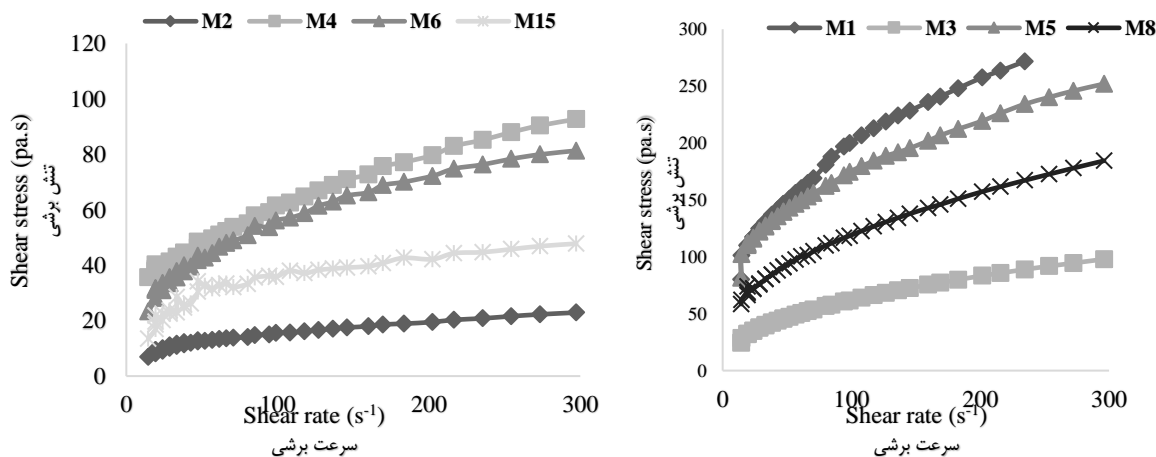
### ویسکوزیته و تنش تسلیم مدل بینگهام

باتوجه به مدل‌های پیشگویی داده‌های ویسکوزیته و تنش تسلیم بینگهام در جدول ۲ پیوست، تأثیر خطی متغیرهای روغن، ژل و آب و تأثیر متقابل روغن-ژل (AB) در سطح احتمال ( $p < 0.001$ ) معنی‌دار



شکل ۱- نمودار کانتور اثر متقابل روغن-ژل بر pH و اسیدیته نمونه‌های مایونز کم‌چرب

Fig. 1. Contour plot of the effects of interaction oil-gel on the pH and acidity of low-fat mayonnaise samples



شکل ۲- منحنی‌های جریان نمونه‌های سس مایونز

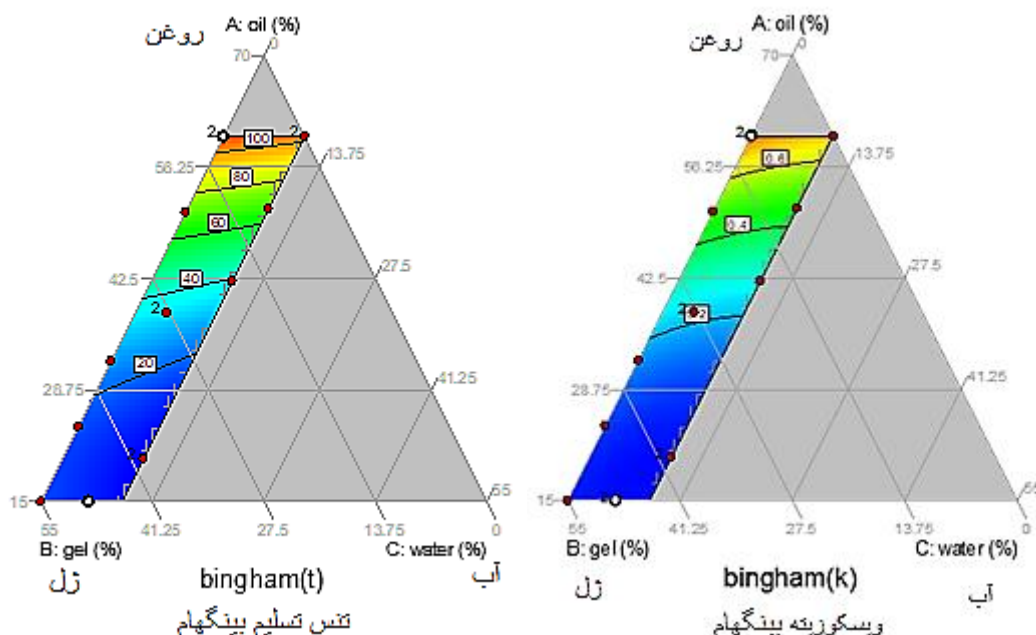
Fig. 2. Flow curves of the mayonnaise samples

کم‌چرب به این نتیجه دست یافتند که تنش تسلیم متناسب با افزایش حجم فاز پراکنده (روغن) و قدرت جاذبه بین قطرات روغن افزایش

دامیان و همکاران (Damian et al., 2018) در پژوهش خود با بررسی استفاده از آگار و صمغ زانتان در فرمولاسیون سس مایونز

تنش برشی اولیه موردنیاز برای شکست ساختار محصول در هنگام اعمال برش می‌باشد با کاهش میزان چربی در نمونه‌های سس مایونز کاهش یافت این امر به دلیل کاهش ویسکوزیته در اثر کاهش چربی بود.

می‌یابد. کاتساروس و همکاران (Katsaros *et al.*, 2020) نیز نتایج مشابهی را گزارش کردند. چادل و همکاران (Schädle *et al.*, 2022) با بررسی رفتار وابسته به زمان سس مایونز کم‌چرب تهیه شده با غلظت‌های مختلف دکسترین ذرت گزارش نمودند که تنش تسلیم که



شکل ۳- نمودار کانتور اثر متقابل روغن-ژل بر ویسکوزیته و تنش تسلیم مدل بینگهام نمونه‌های مایونز کم‌چرب

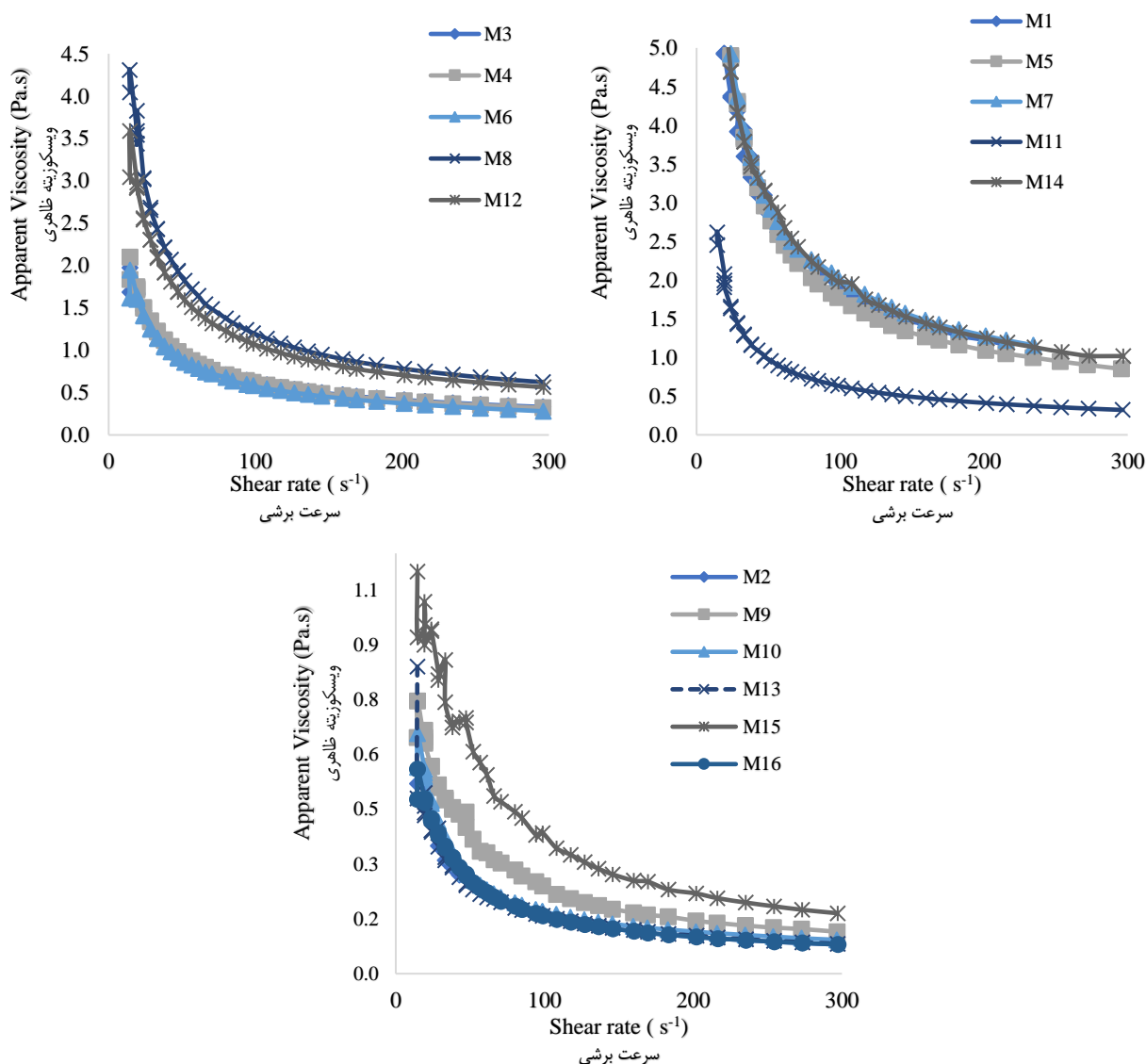
Fig. 3. Contour plot of the effects of interaction oil-gel on the viscosity and yield stress of Bingham's model of low-fat mayonnaise samples

حرکت براونی، ذرات امولسیون بیشتر در جهت جریان قرار گرفته و مقاومت کمتری نسبت به جریان یافتن خواهند داشت که این مسئله سبب کاهش ویسکوزیته می‌شود. ثابت ماندن ویسکوزیته در نرخ‌های برشی بالا، به دلیل باقی ماندن ذرات به همان حالت اولیه در جهت جریان می‌باشد که این موضوع باعث ثابت ماندن ویسکوزیته ظاهری می‌شود (Aalami *et al.*, 2023). با توجه به نتایج به دست آمده می‌توان دریافت که ویسکوزیته نمونه‌ها با افزایش درصد جایگزینی ژل آلوئه‌ورا و کاهش درصد روغن، کاهش یافته است و در هنگام اعمال تنش، ویسکوزیته سریع تر به حد تعادلی رسیده است که شکل ۵ مؤید این مطلب است. بنابراین این نتیجه حاصل می‌شود که ویسکوزیته نمونه‌ها به درصد چربی و ژل آلوئه‌ورا و سرعت برش بستگی دارد که با افزایش سرعت برش و کاهش میزان چربی و افزایش ژل، ویسکوزیته سریعتر کاهش یافته و به حد تعادلی نزدیک شده است.

### ویسکوزیته ظاهری

شکل ۴، ارتباط بین ویسکوزیته ظاهری و درجه برش نمونه‌های مایونز با درصد‌های مختلف چربی و ژل آلوئه‌ورا را در نرخ برشی ۳۰۰-۱۴ بر ثانیه نشان داده است. تمام نمونه‌ها دارای رفتار رقیق‌شونده با برش بودند و با افزایش درجه برش، ویسکوزیته ظاهری کاهش یافته است. در یک امولسیون غلیظ، به هم پیوستگی ذرات، منجر به شکل‌گیری شبکه سه‌بعدی از ذرات تجمع یافته می‌گردد، با ایجاد نیروی برشی بر روی امولسیون، ذرات تجمع یافته به صورت پیش‌رونده تخریب شده و مقاومت امولسیون به جریان کاهش می‌یابد، این امر موجب کاهش ویسکوزیته ظاهری امولسیون در طی زمان می‌شود (Alkabaa *et al.*, 2024). همان‌طور که در شکل ۴ مشاهده می‌شود، در سرعت‌های برشی پایین، ویسکوزیته ظاهری به سرعت کاهش یافته است. درحالی‌که در سرعت‌های بالاتر، روند کاهش ویسکوزیته آهسته می‌باشد. زیرا با افزایش سرعت برشی به میزان مورد نیاز جهت غلبه بر



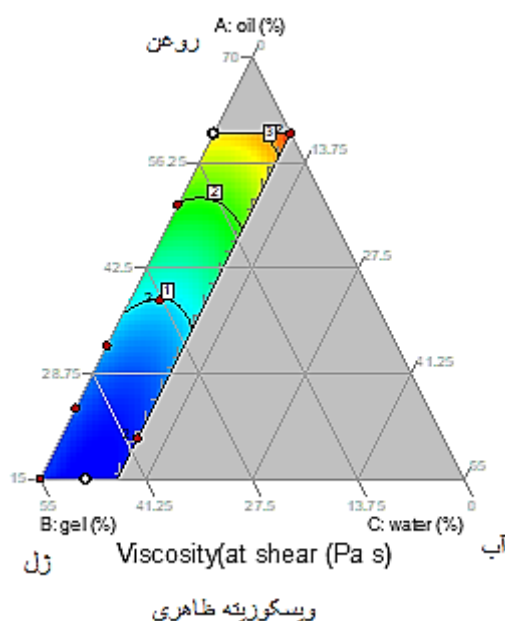


شکل ۴- اثر سرعت برشی بر ویسکوزیته ظاهری نمونه‌های سس مایونز کم‌چرب

Fig. 4. Flow curves of mayonnaise representing apparent viscosity as a function of shear rate

ذرات روغن به‌صورت توده‌ای کنار یکدیگر قرار می‌گیرند، در نتیجه واکنش‌های بین ذره‌ای قوی‌تر شده و ویسکوزیته که به‌معنای مقاومت در برابر جریان است، افزایش می‌یابد (Jafarpour, 2022). اعلمی و همکاران (Aalami et al., 2023) در پژوهشی با بررسی تأثیر سطح چربی بر مقدار این ویژگی، چربی را عامل افزایش ویسکوزیته معرفی کردند. بنابراین در این پژوهش با افزایش ژل آلوئه‌ورا و کاهش روغن، فاز آبی بیشتر شده و روغن جهت تشکیل امولسیون پایدار در سس مایونز کاهش یافته و متعاقب آن نیز گرانروی کاهش یافته است.

سس‌های مایونز در این پژوهش رفتار غیرنیوتنی رقیق‌شونده با برش نشان دادند. برای مطالعه ارزیابی حسی و احساس دهانی از داده‌های گرانروی در سرعت برشی ۵۰ بر ثانیه استفاده شد. معادله  $\gamma_5$  در جدول ۱ پیوست، نشان‌دهنده معنی‌داری تأثیر خطی متغیرهای مستقل روغن، ژل و آب در سطح احتمال ( $p < 0.001$ ) و معنی‌داری تأثیر متقابل روغن-ژل (AB) در سطح احتمال ( $p < 0.05$ ) بود. باتوجه به شکل ۵، با افزایش درصد جایگزینی ژل آلوئه‌ورا و کاهش درصد روغن در نقطه مرکزی متغیر سوم (آب) ویسکوزیته ظاهری کاهش یافته است. دلیل این موضوع نقش چربی در ایجاد ویسکوزیته فرآورده‌های غذایی می‌باشد بنابراین کاهش چربی باعث کاهش این ویژگی خواهد شد؛ زیرا هنگامی که فاز روغن افزایش می‌یابد، ذرات به یکدیگر نزدیک شده و



شکل ۵- نمودار کانتور اثر متقابل روغن-ژل بر ویسکوزیته ظاهری نمونه‌های مایونز کم چرب

Fig. 5. Contour plot of the effects interaction oil-gel on the viscosity apparent of low-fat mayonnaise samples

تحرك مولکول‌ها می‌شود. در نتیجه گرانیوی بیشتر کاهش یافته و متعاقب آن پایداری حرارتی امولسیون نسبت به پایداری فیزیکی بیشتر، کاهش می‌یابد. در همین راستا کاتساروس و همکاران (Katsaros *et al.*, 2020) و شایگان نیا و همکاران (Shaygannia *et al.*, 2021) به نتایج مشابهی دست یافتند. این پژوهشگران گزارش نمودند که دلیل کاهش میزان پایداری نمونه‌های سس مایونز بر پایه لبنیات، مطابق قانون استوک کاهش ویسکوزیته نمونه‌ها می‌باشد.

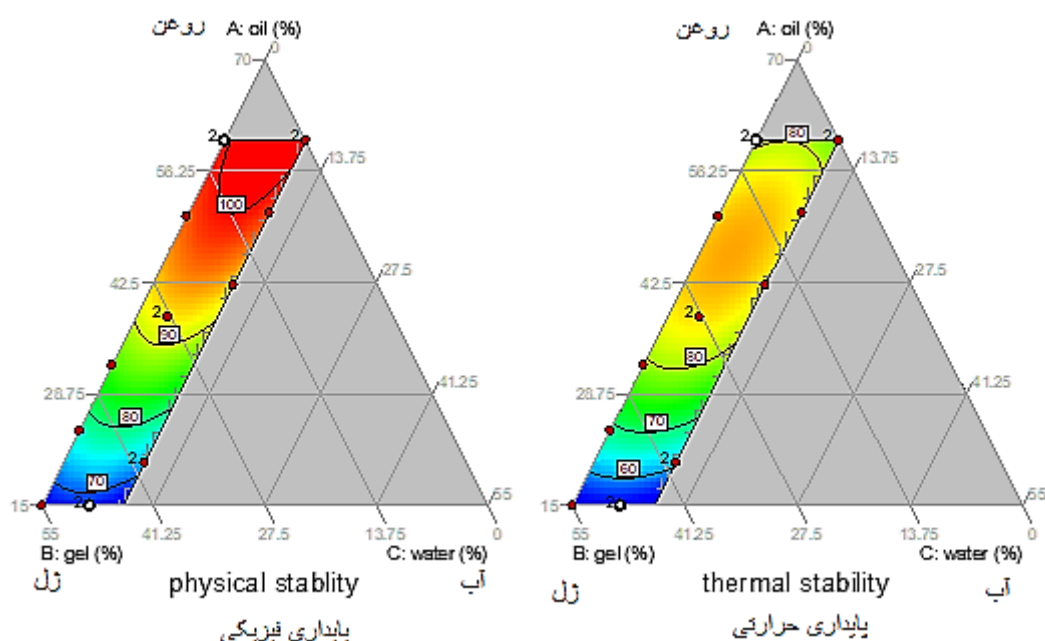
#### ویژگی‌های بافتی

باتوجه به مدل‌های منتخب برای پاسخ‌های سفتی، قوام، نیروی چسبندگی و چسبندگی در جدول ۳ پیوست، متغیرهای مستقل روغن، ژل و آب دارای تأثیر خطی معنی‌دار در سطح احتمال ( $p < 0.001$ ) و متغیرهای روغن-ژل (AB) دارای اثر متقابل معنی‌دار در سطح احتمال ( $p < 0.05$ ) بودند. با افزایش درصد جایگزینی ژل آلوئه‌ورا و کاهش درصد روغن در نقطه مرکزی متغیر آب ویژگی‌های بافتی سس مایونز همچون سفتی، قوام، نیروی چسبندگی و چسبندگی نمونه‌ها کاهش یافت (شکل ۷). لی و همکاران (Li *et al.*, 2020) با بررسی خصوصیات رئولوژیکی و بافتی مایونز کم‌چرب با جایگزین‌های چربی مختلف گزارش نمودند ویسکوزیته تا اندازه‌ای ولی نه به‌طور کامل می‌تواند ویژگی‌های بافتی را منعکس کند، این محققان بیان کردند کاهش قطر قطرات روغن سبب افزایش سطح تماس بین قطرات شده

#### پایداری فیزیکی و حرارتی

امولسیون‌های محتوی مقدار زیاد چربی پایداری مناسبی دارند. زیرا ذرات به‌طور کامل به هم پیوسته بوده و نمی‌توانند حرکت کنند در نتیجه ناپایداری در این امولسیون‌ها رخ نمی‌دهد (Katsaros *et al.*, 2020). معادلات  $Y_6$  و  $Y_7$  ارائه‌شده در جدول ۱ پیوست، نشان‌دهنده معنی‌داری تأثیر خطی متغیرهای مستقل روغن، ژل و آب در سطح احتمال ( $p < 0.001$ ) و معنی‌داری تأثیر متقابل روغن-ژل (AB) برای پایداری فیزیکی در سطح احتمال ( $p < 0.05$ ) و برای پایداری حرارتی در سطح احتمال ( $p < 0.001$ ) بودند. با افزایش درصد جایگزینی ژل آلوئه‌ورا و کاهش درصد روغن در نقطه مرکزی متغیر سوم (آب) پایداری فیزیکی و حرارتی کاهش یافت (شکل ۶). یکی از عوامل مؤثر در پایداری نمونه‌های مایونز بر طبق قانون استوک ویسکوزیته نمونه‌ها می‌باشد. مطابق این قانون هر چه گرانیوی فاز پیوسته بیشتر باشد، سرعت جداسازی فازها کمتر و امولسیون پایدارتر خواهد بود، در حالی که کم بودن گرانیوی، باعث افزایش حرکت ذرات و در نتیجه افزایش سینرزیس می‌شود (Ozcan *et al.*, 2023). بنابراین در این پژوهش باتوجه به اینکه ویسکوزیته نمونه‌ها با افزایش درصد جایگزینی ژل آلوئه‌ورا روند کاهشی داشته است بر همین اساس، پایداری نمونه‌ها هم با افزایش درصد جایگزینی ژل کاهش یافت. لازم به ذکر است، که پایداری حرارتی نمونه‌های سس مایونز در قیاس با پایداری فیزیکی نمونه‌ها در این پژوهش کمتر بوده است که به دلیل شوک حرارتی ناشی از افزایش دما می‌باشد که منجر به شکستن ساختار مولکول‌ها و افزایش آزادی و

در نتیجه ویسکوزیته افزایش یافته که منجر به سفت شدن بافت امولسیون می‌شود.



شکل ۶- نمودار کانتور اثر متقابل روغن-ژل بر پایداری فیزیکی و حرارتی نمونه‌های مایونز کم‌چرب

Fig. 6. Contour plot of the effects of interaction oil-gel on the physical and thermal stability of low-fat mayonnaise samples

در حالی که نمونه حاوی ۱٪ صمغ کنجاک مشابه نمونه کنترل پرچرب بود. صمغ کنجاک ۱٪ به دلیل خواص فیزیکوشیمیایی مطلوب و بافت و طعم قابل قبول می‌تواند به‌عنوان جایگزین چربی برای تهیه سس مایونز کم‌چرب استفاده شود. پی و همکاران (Pei et al., 2023) نیز امکان استفاده از ژل کنجاک میکرونیزه شده به‌عنوان مقلد چربی در سس مایونز گزارش نمودند که با افزایش درصد جایگزینی ژل، نیروی چسبندگی و اندیس ویسکوزیته که خواص فاز مایع را نشان می‌دهند کاهش یافت.

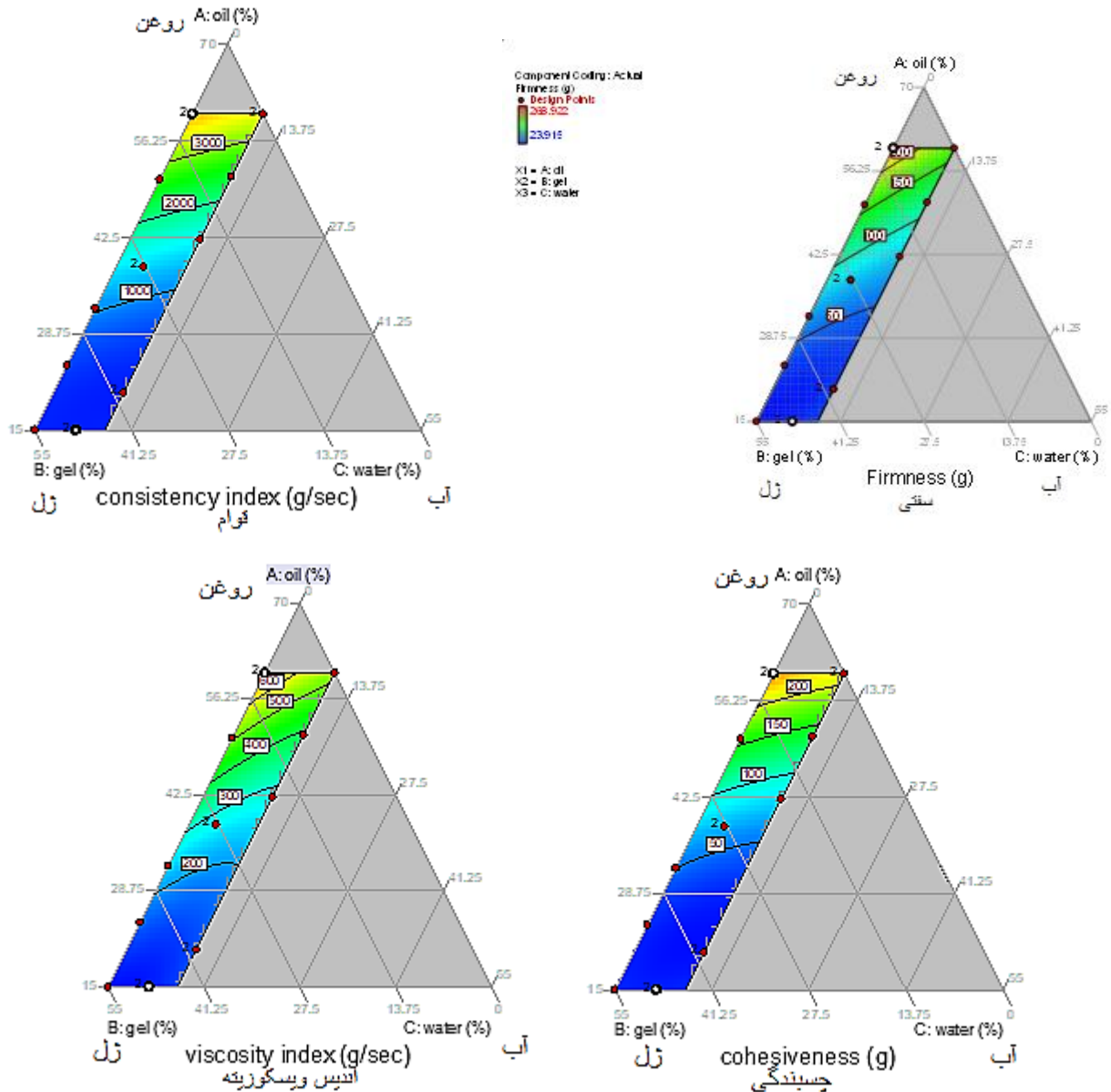
### شاخص رنگی

سس مایونز یک غذای پرچرب است که به دلیل اکسیداسیون خودکار اسیدهای چرب غیراشباع، مستعد تخریب اکسیداتیو است که بر خواص رنگ تأثیر می‌گذارد (Alkabaa et al., 2024). در میان فاکتورهای رنگی، میزان روشنایی تأثیر بسزایی در میزان پذیرش مصرف‌کننده دارد (Ozcan et al., 2023). باتوجه به جدول ۳ پیوست، تأثیر متقابل معنی‌داری بین روغن-ژل آلونه‌ورا (AB) در سطح احتمال ( $p < 0.05$ ) بود. ابتدا با افزایش درصد جایگزینی ژل آلونه‌ورا از ۵ تا ۲۷/۵٪ و کاهش روغن از ۶۰ تا ۳۷/۵٪ در نقطه مرکزی متغیر آب، شفافیت نمونه‌ها افزایش یافت، سپس به تدریج با افزایش درصد

باتوجه به فرضیه چادل و همکاران (Schädle et al., 2022) مبنی بر وجود رابطه میان ویسکوزیته و ویژگی‌های بافتی می‌توان کاهش ویسکوزیته نمونه‌ها با افزایش درصد جایگزینی دکسترین ذرت را عامل کاهش خصوصیات بافتی دانست. زیرا افزایش درصد جایگزینی باعث نرم شدن محصول و کاهش ویژگی‌های بافتی شده است. این نتایج با نتایج پژوهشی محمدعلیزاده سامانی و گلی (Mohammadalizade Samani & Goli, 2018) مبنی بر استفاده از شیر کنجاله فندق به‌عنوان جایگزین زرده تخم مرغ مطابقت داشت. دامیان و همکاران (Damian et al., 2018) نیز با بررسی صمغ‌های هیدروکلوئیدی مختلف در تولید سس مایونز کم‌چرب بیان کردند که سفتی، نیروی چسبندگی و چسبندگی نمونه‌های دارای صمغ نسبت به سس مایونز-های معمولی بیشتر است، آنها علت این امر را اینگونه تفسیر کردند؛ صمغ‌ها با ایجاد ساختاری ژل مانند قطرات روغن را به دام انداخته و حرکت آنها را کاهش داده و ویسکوزیته را افزایش می‌دهند در نتیجه باعث بهبود ویژگی‌های بافتی امولسیون می‌شوند. جعفرپور (Jafarpour, 2020) تأثیر استفاده از صمغ کنجاک به‌عنوان جایگزین چربی بر خواص فیزیکوشیمیایی، رئولوژیکی و حسی سس مایونز کم‌چرب بررسی کردند. نتایج گویای این بود که سفتی بافت و ویسکوزیته ظاهری با افزایش صمغ به طور قابل توجهی افزایش یافت،

مایونزهای کم‌چرب تولید شده با استفاده از روغن سویا گزارش کردند که نمونه‌هایی با محتوای چربی بالاتر و اندازه قطرات چربی کوچکتر دارای  $L^*$  بالایی هستند که ناشی از شکست خوب نور می‌باشد، زیرا روغن سویا محتوای آب بیشتر و لسیتین کمتری نسبت به زرده تخم مرغ دارد.

جایگزینی ژل آلونهورا از ۲۷/۵ تا ۵۰٪ و کاهش روغن از ۳۷/۵ تا ۱۵٪ در نقطه مرکزی متغیر آب از میزان شفافیت نمونه‌ها کاسته شد (شکل ۸). همان‌طور که در شکل ۸ ملاحظه می‌شود، بیشترین میزان شفافیت در قسمت مرکزی فضای آزمایشی شکل می‌باشد. وانگ و همکاران (Wang et al., 2022) با بررسی خصوصیات پایداری و رئولوژیکی



شکل ۷- نمودار کانتور اثر متقابل روغن-ژل بر سفتی، قوام، چسبندگی و اندیس ویسکوزیته نمونه‌های مایونز کم‌چرب

Fig. 7. Contour plot of the effects interaction oil-gel on the firmness, consistency, cohesiveness and viscosity index of low-fat mayonnaise samples

رنگدانه‌های سبز برگ آلوئه‌ورا در ژل استخراج شده باشد که با افزایش درصد جایگزینی ژل باعث افزایش رنگ سبز در نمونه‌های مایونز شده است (Mirghafoori, 2016). سیدمحمدی فرد و همکاران (Seid Mohammadi fard et al., 2023) نیز نشان دادند که با جایگزینی موسیلاژ دانه چیا به‌عنوان جایگزین چربی، گرایش به سبزی در نمونه‌ها مشاهده شد. نتایج این پژوهش با نتایج پژوهش حاضر که با جایگزینی ژل آلوئه‌ورا گرایش به سبزی در نمونه‌ها مشاهده شد مطابقت داشت. دامیان و همکاران (Damian et al., 2018) در پژوهشی پایداری و خواص رئولوژیکی برخی از سس مایونز کم چرب با صمغ زانتان و گوار را بررسی کردند. سس مایونز کم‌چرب در مقایسه با سس مایونز پرچرب،  $L^*$  بالاتر،  $a^*$  و  $b^*$  کمتری را نشان داد. پارک و همکاران (Park et al., 2020) نشان دادند که می‌توان نشاسته اصلاح شده تاپوکای ۳۰٪ را در سس مایونز به‌عنوان جایگزین چربی استفاده کرد. ریس و همکاران (Reis et al., 2023) ویژگی‌های سس مایونز کم‌چرب تهیه شده با استفاده از بتاگلوکان را بررسی کردند و طبق نتایج با کاهش میزان روغن، کاهش روشنی را گزارش نمودند. اوزکان و همکاران (Ozcan et al., 2023) نشان دادند که افزایش قطر اندازه ذرات و کاهش افتراق نور در نمونه‌هایی با درصد جایگزینی بالاتر می‌تواند دلیل کاهش روشنایی مایونز باشد. لذا با توجه به نتایج پژوهشی این محققان می‌توان عنوان کرد که جایگزینی ژل آلوئه‌ورا باعث افزایش اندازه قطر ذرات امولسیون شده و متعاقباً سبب کاهش شفافیت نمونه‌ها گردیده است.

بهینه‌یابی فرمولاسیون سس مایونز براساس متغیرهای مستقل فرمول (روغن، ژل و آب) و پاسخ‌های بهینه‌یابی شامل ویژگی‌های بافتی و پایداری توسط نرم افزار Design Expert انجام شد. براساس نتایج بدست آمده، مقادیر بهینه متغیرهای مستقل به‌ترتیب روغن (۴۰٪)، ژل آلوئه‌ورا (۳۰٪) و آب (۰٪) جهت تولید مایونز کم‌چرب بود (شکل ۹). در ادامه، مقادیر پیشگویی شده توسط مدل بهینه و مقادیر بدست آمده از آزمایش واقعی برای ناحیه بهینه در جدول ۳ گزارش شده است که بیانگر توان بالای مدل در برازش داده‌هاست.

### ارزیابی حسی

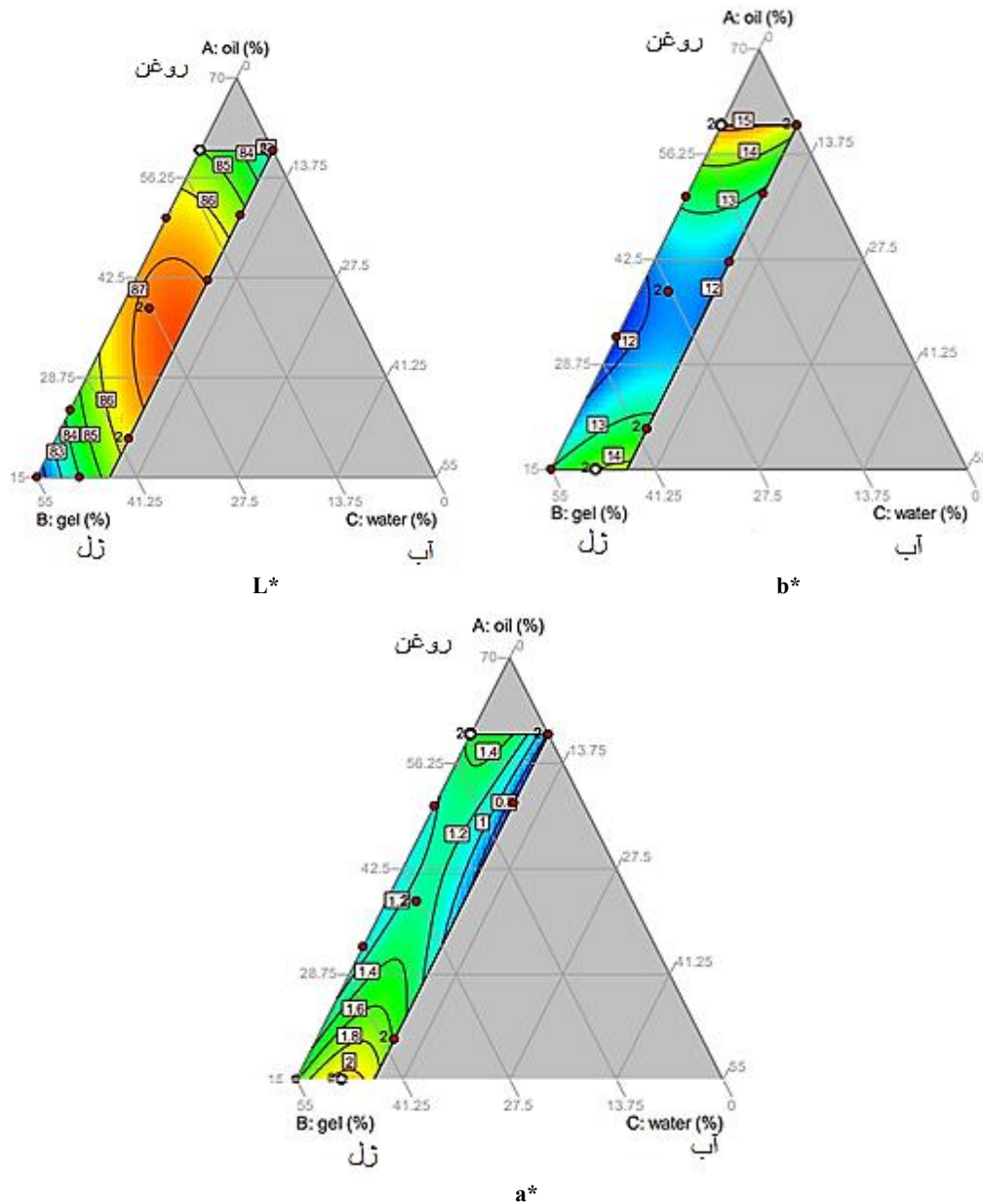
ارزیابی حسی شامل شاخص‌های رنگ، بو، طعم، بافت، ظاهر و پذیرش کلی بین نمونه شاهد فاقد ژل آلوئه‌ورا (۶۰٪ روغن) و نمونه بهینه ۳۰٪ ژل آلوئه‌ورا (۴۰٪ روغن) بررسی شد. رنگ یک ویژگی مهم محصولات غذایی می‌باشد که با توجه به میزان اثرگذاری هر جزء بر رنگ محصول می‌تواند بر درک مصرف‌کننده از اجزای تشکیل‌دهنده غذا مؤثر باشد. نتایج آنالیز حسی نشان داد بین رنگ نمونه شاهد و بهینه

بنابراین با توجه به این پژوهش دلیل افزایش شفافیت در درصدهای پایین جایگزینی ژل آلوئه‌ورا و بالا بودن درصد روغن را می‌توان به بالا بودن میزان چربی اشاره کرد. از طرفی کاهش شفافیت با افزایش درصد جایگزینی ژل را می‌توان به کم بودن شفافیت ژل آلوئه‌ورا نسبت داد. فاکتور  $b^*$ ، بیانگر میزان زردی نمونه هاست که به لحاظ ظاهری در پذیرش سس مایونز بسیار مؤثر است. مؤلفه رنگی  $+b^*$  نشان‌دهنده میزان زردی و  $-b^*$  نشان‌دهنده میزان آبی بودن در مواد غذایی است. نتایج آنالیز واریانس مدل شاخص رنگی  $b^*$  نشان‌دهنده معنی‌داری اثر متقابل روغن-ژل آلوئه‌ورا (AB) در سطح اطمینان ۹۵٪ بود. به‌طوری‌که با افزایش ژل آلوئه‌ورا از ۵ تا ۵/۲۷٪ و کاهش روغن از ۶۰ تا ۳۷/۵٪ در نقطه مرکزی متغیر سوم (آب) اندیس  $b^*$  کاهش یافت. دلیل این امر کاهش روغن بود. موسی‌خانی گنجه (Mousakhani-Ganjeh, 2021) در پژوهشی با بررسی خصوصیات فیزیکوشیمیایی سس مایونز کم‌کالری با استفاده از نشاسته ذرت پیش‌ژلاتینه، دلیل کاهش اندیس  $b^*$  را افزودن نشاسته در فرمولاسیون و کاهش میزان روغن آن نسبت به شاهد بیان کردند. همچنین سیدمحمدی فرد و همکاران (Seid Mohammadi fard et al., 2023) با بررسی موسیلاژ دانه چیا به‌عنوان جایگزین چربی در فرمولاسیون سس مایونز کم‌چرب به این نتیجه رسیدند که با کاهش روغن و افزایش درصد جایگزینی موسیلاژ شاخص رنگی  $b^*$  کاهش یافت، که با نتایج پژوهش حاضر مطابقت دارد. اما اندیس  $b^*$  با افزایش درصد جایگزینی ژل از ۵/۲۷٪ تا ۵۰٪ و کاهش روغن از ۵/۳۷٪ تا ۱۵٪ افزایش یافت دلیل این امر می‌تواند به علت مایع زرد رنگ و تلخ مزه در بافت پارانیشمی برگ آلوئه‌ورا باشد که به‌دلیل حضور احتمالی در ژل استخراجی با افزایش درصد ژل در فرمولاسیون سبب افزایش زردی نمونه‌ها شد. نتایج این پژوهش با نتایج میرغفوری (Mirghafoori, 2016) مطابقت داشت. این محققین با بررسی خواص سس مایونز کم‌چرب حاوی ژل آلوئه‌ورا به‌عنوان جایگزین چربی و شیر سویا به‌عنوان جایگزین تخم مرغ این طور بیان نمودند که با افزایش درصد جایگزینی ژل آلوئه‌ورا و شیر سویا شاخص روشنایی کاهش و شاخص زردی افزایش یافت.

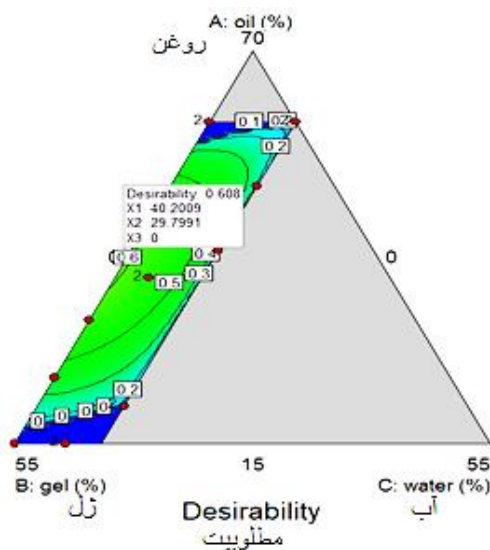
مؤلفه رنگی  $+a^*$  نشان‌دهنده میزان قرمزی و  $-a^*$  نشان‌دهنده میزان سبز بودن در مواد غذایی است. مقدار  $a^*$  در این پژوهش در تمام نمونه‌ها منفی بود و مقدار منفی بیانگر رنگ سبز است. نتایج آنالیز واریانس نشان داد که عبارت‌های معنی‌دار برای  $a^*$  اثر خطی ژل، روغن، آب و اثر متقابل روغن-ژل آلوئه‌ورا (AB) در سطح اطمینان ۹۵٪ بود. با افزایش درصد جایگزینی ژل و کاهش روغن منفی بودن  $a^*$  یا گرایش به سبزی افزایش یافت. دلیل این امر می‌تواند حضور

در این محصول می‌باشد. با توجه به جدول ۴ بین بو و طعم نمونه شاهد و بهینه اختلاف معنی‌داری وجود نداشت. بافت ویژگی حسی است که فقط توسط انسان و بعضی ابزارهای اندازه‌گیری که در ارتباط با پاسخ‌های حسی هستند، دریافت و توصیف می‌شوند.

سس مایونز اختلاف معنی‌داری وجود نداشت (جدول ۴). در واقع افزودن ژل آلوتنه‌ها را به عنوان جایگزین بخشی از چربی تأثیر چندانی بر رنگ نمونه شاهد و بهینه نداشت. درک بو ناشی از قرار گرفتن مولکول‌های فرار ماده غذایی بر روی سلول‌های گیرنده بو در بینی می‌باشد. بوی غالب در فرمولاسیون سس مایونز مربوط به سرکه به کار گرفته شده



شکل ۸- نمودار کانتور مثلثی اثر متقابل روغن-ژل بر شاخص‌های رنگی نمونه‌های مایونز کم‌چرب  
 Fig. 8. Contour plot of the effects of interaction oil-gel on the low-fat mayonnaise samples



شکل ۹- نمودار کانتور مثلثی ناحیه بهینه  
Fig. 9. Contour plot of the of the optimal zone

جدول ۳- مقایسه مقادیر پیشگویی شده توسط مدل بهینه و مقادیر به دست آمده از آزمایش واقعی برای ناحیه بهینه

Table 3- Comparison of predicted and experimental values at the optimum point

فکتورهای بهینه‌سازی Optimization factors	مقادیر پیشگویی شده توسط مدل بهینه Values predicted by the optimal model	مقادیر حاصل از آزمایش Values obtained from the experiment
پایداری فیزیکی Physical stability	91.855	91.48
پایداری حرارتی Thermal stability	84.683	80.045
سفتی Hardness	98.143	52.518
قوام Consistency	2085.825	1022.716
چسبندگی Tackiness	85.268	48.591
ویسکوزیته Viscosity	340.890	207.445

(انعکاس، عبور نور، براقی و...) و ویژگی‌های دیگر (جابجایی، جریان و...) می‌باشد. نتایج آزمون حسی نشان داد که بین نمونه شاهد و بهینه از لحاظ ظاهر اختلاف معنی‌داری وجود داشت. زیرا شفافیت ژل آلونه‌ورا نسبت به روغن کمتر است. همچنین ژل آلونه‌ورا به علت داشتن حباب‌های هوا باعث کاهش یکنواختی نمونه بهینه نسبت به نمونه شاهد شده است. پذیرش کلی محصول نیز نشان‌دهنده اثر مجموع صفات بافتی و غیر بافتی آن بر مصرف‌کننده می‌باشد. بنابراین بین نمونه شاهد و بهینه با وجود اختلاف معنی‌دار در ویژگی‌های بافت و ظاهر، از لحاظ پذیرش کلی اختلاف معنی‌داری وجود نداشت.

برخلاف رنگ و طعم، بافت ماده غذایی برای مصرف‌کنندگان شاخصی از ایمنی ماده غذایی نمی‌باشد، اما شاخصی از کیفیت ماده غذایی است. ذرات چربی عامل اصلی ایجاد بافت نسبتاً غلیظ در سس مایونز می‌باشند، لذا کاهش میزان روغن باعث از بین رفتن بافت مطلوب فرآورده می‌شود. نتایج آزمون حسی نشان داد که با جایگزینی ژل آلونه‌ورا و کاهش روغن از میزان سفتی بافت کاسته شده است و در نتیجه اختلاف معنی‌داری بین نمونه شاهد و بهینه از لحاظ سفتی بافت وجود داشت (جدول ۴). ظاهر یک محصول شامل رنگ و دیگر ویژگی‌های ظاهری مانند شکل ظاهری (شکل، اندازه و بافت)، ویژگی‌های نوری

جدول ۴- نتایج ارزیابی پارامترهای حسی سس مایونز شاهد و بهینه

Table 4- Evaluation results of control and optimal mayonnaise sensory parameters

تیمار Treatment	رنگ Color	بو Smell	طعم Taste	بافت Texture	ظاهر Appearance	پذیرش کلی Overall Acceptance
شاهد Control	4.08±0.66 <sup>a</sup>	3.25±1.05 <sup>a</sup>	3.5±1.08 <sup>a</sup>	4.58±0.51 <sup>a</sup>	4.25±0.75 <sup>a</sup>	3.83±0.93 <sup>a</sup>
بهینه Optimum	3.83±0.71 <sup>a</sup>	3.66±1.07 <sup>a</sup>	3.33±1.07 <sup>a</sup>	2.91±0.9 <sup>b</sup>	3.16±0.83 <sup>b</sup>	3.58±0.99 <sup>a</sup>

\* میانگین‌ها در هر ستون که دارای حروف مشابه هستند، فاقد تفاوت آماری معنی‌دار در سطح ۵٪ می‌باشند.

## نتیجه‌گیری

این مطالعه با هدف بهینه‌سازی جایگزینی چربی با ژل آلوئه‌ورا و تأثیر آن بر ویژگی‌های فیزیکوشیمیایی، رئولوژیکی و بافتی سس مایونز کم‌چرب انجام شد. نتایج پژوهش نشان داد، که جایگزینی ژل آلوئه‌ورا بر محتوای pH، اسیدیته، پایداری، شفافیت و بافت نمونه‌ها اثرگذار بود و علاوه بر این، منجر به رفتار رقیق‌شونده با برش و کاهش ویسکوزیته ظاهری نمونه‌ها گردید. بنابراین باتوجه به داده‌های حاصل از آزمون-های مختلف فیزیکوشیمیایی، رئولوژیکی و بافتی و با در نظر گرفتن اینکه بیشترین میزان ژل آلوئه‌ورا را آب تشکیل می‌دهد برای اینکه پلی‌ساکاریدهای موجود در ژل بتوانند خاصیت جذب آب خود را بهتر نشان بدهند از ترکیب با سایر هیدروکلوئیدهای تجاری و صمغ‌ها استفاده گردد، تا با جذب آب اضافی امولسیون، از طریق افزایش ویسکوزیته، نتیجه بهتری حاصل شود. در نهایت بهینه‌سازی فرمولاسیون براساس متغیرهای مستقل و پاسخ‌های بهینه‌یابی نشان داد که ژل آلوئه‌ورا به‌تنهایی در حد ۳۰٪ قابلیت استفاده در سس مایونز را دارد.

## سپاسگزاری

از کارکنان و مسئولین پژوهشی و آموزشی دانشگاه فردوسی مشهد که در تأمین امکانات لازم و مراحل اجرایی این پژوهش همکاری داشته‌اند تشکر و قدردانی می‌شود (کد طرح: ۲۶۶۳۵۳۲).

## مشارکت نویسندگان

**مریم اکبری:** گردآوری داده‌ها، تحلیل داده‌ها، تحقیق، نگارش پیش‌نویس اصلی. **محمد جواد وریدی:** مفهوم‌سازی، مدیریت داده‌ها، روش‌شناسی، مدیریت پروژه. **مهرداد وریدی:** مفهوم‌سازی، بررسی آنالیزها، روش‌شناسی، نظارت. **هانیه یاربی:** نرم‌افزار، نظارت، اعتبارسنجی، بررسی و ویرایش مقاله.

## منابع تأمین مالی

این پژوهش با حمایت مالی از دانشگاه فردوسی مشهد (گرنه شماره طرح ۲۶۶۳۵۳۲) انجام شد.

## References

- Aalami, M., Rahbari, M., Ahmed, S.A., Mahoonak, A.S., Kashaninejad, M., & Hassanzadeh, H. (2023). Formulation of functional mayonnaise with defatted wheat germ flour as egg yolk substitute: Rheological, textural and stability analyses. *Food Science and Preservation*, 30(3), 405-418. <https://doi.org/10.11002/kjfp.2023.30.3.405>
- Adhav, A.S., Patil, O.A., Kadam, S.V., & Bhutkar, M.A. (2020). Review on Aloe vera is used in medicinal plant. *Asian Journal of Research in Pharmaceutical Science*, 10(1), 26-30. <https://doi.org/10.4236/pp.2013.48086>
- Alkabaa, A.S., Akcicek, A., Taylan, O., Balubaid, M., Alamoudi, M., Gulzar, W.A., & Karasu, S. (2024). Production of novel bigels from cold pressed Chia seed oil by-product: Application in low-fat mayonnaise. *Foods*, 13(4), 574. <https://doi.org/10.3390/foods13040574>
- Blok, A.E., Bolhuis, D.P., Arnaudov, L.N., Velikov, K.P., & Stieger, M. (2023). Influence of thickeners (microfibrillated cellulose, starch, xanthan gum) on rheological, tribological and sensory properties of low-fat mayonnaises. *Food Hydrocolloids*, 136, 108242. <https://doi.org/10.1016/j.foodhyd.2022.108242>
- Damian, C., Ropciuc, S., Leahu, A., & Oroian, M.A. (2018). Stability and rheological properties of some fat-reduced mayonnaise with different fat mimics. *International Multidisciplinary Scientific GeoConference: SGEM*, 18(6.2), 573-580. <https://doi.org/10.5593/sgem2018/6.2/S25.076>
- Jafarpour, D. (2022). Study the effect of Konjac gum (*Amorphophallus konjac*) as a fat substitute on the physico-chemical, rheological and sensory properties of low-fat mayonnaise. *Journal of Innovation in Food Science & Technology*, 14(1).
- Kaneda, I., & Shibata, S. (2020). Rheological properties of low oil mayonnaise by replacing oil droplets with agar micro-gels. *Nihon Reorogi Gakkaiishi*, 48(2), 113-120. <https://doi.org/10.1678/rheology.48.113>



8. Katsaros, G., Tsoukala, M., Giannoglou, M., & Taoukis, P. (2020). Effect of storage on the rheological and viscoelastic properties of mayonnaise emulsions of different oil droplet size. *Heliyon*, 6(12). <https://doi.org/10.1016/j.heliyon.2020.e05788>
9. Li, A., Gong, T., Hou, Y., Yang, X., & Guo, Y. (2020). Alginate-stabilized thixotropic emulsion gels and their applications in fabrication of low-fat mayonnaise alternatives. *International Journal of Biological Macromolecules*, 146, 821-831. <https://doi.org/10.1016/j.ijbiomac.2019.10.050>
10. Majidova, N., Bozorov, D., Rakhmonov, K., & Akramova, P. (2024). Research of the stability of low-calorie mayonnaises and development of their formulation. In *E3S Web of Conferences*, 548, 02012. <https://doi.org/10.1051/e3sconf/202454802012>
11. Mirghafoori, S., & Rahimi, S. (2016). Evaluation of the physicochemical, emulsion and rheological properties of mayonnaise containing soy milk and Aloe vera gel. *Innovative Food Technologies*, 3(3), 73-83. <https://doi.org/10.22104/jift.2016.296>
12. Mousakhani-Ganjeh, H., & Goli, M. (2021). Textural and sensory properties of reduced-fat mayonnaise prepared with pre-gelatinized cornstarch and Farsi gum. *Research and Innovation in Food Science and Technology*, 9(4), 363-374. <https://doi.org/10.22101/JRIFST.2020.212592.1136>
13. Mohammad Alizade Samani, E., & Goli, M. (2019). Optimization of mayonnaise formula using hazelnut meal milk as egg yolk substitute at various levels of Xanthan-Guar Gum and response surface methodology. *Iranian Journal of Nutrition Sciences and Food Technology*, 14(3), 75-86.
14. Odep, L.A., Mahungu, S.M., & Omwamba, M.N. (2024). Physico-chemical, and sensory properties of mayonnaise substitute prepared from Chia mucilage (*Salvia hispanica* L.) and gum Arabic from *Acacia senegal* var. *kerensis*. *Food and Nutrition Sciences*, 15(9), 880-898. <https://doi.org/10.4236/fns.2024.159056>
15. Ozcan, I., Ozyigit, E., Erkoc, S., Tavman, S., & Kumcuoglu, S. (2023). Investigating the physical and quality characteristics and rheology of mayonnaise containing aquafaba as an egg substitute. *Journal of Food Engineering*, 344, 111388. <https://doi.org/10.1016/j.jfoodeng.2022.111388>
16. Park, J.J., Olawuyi, I.F., & Lee, W.Y. (2020). Characteristics of low-fat mayonnaise using different modified arrowroot starches as fat replacer. *International Journal of Biological Macromolecules*, 153, 215-223. <https://doi.org/10.1016/j.ijbiomac.2020.02.331>
17. Pei, Y., Zhang, Y., Ding, H., Li, B., & Yang, J. (2023). Stability and rheological behavior of mayonnaise-like emulsion co-emulsified by Konjac glucomannan and whey protein. *Foods*, 12(15), 2907. <https://doi.org/10.3390/foods12152907>
18. Raikos, V., Hayes, H., & Ni, H. (2020). Aquafaba from commercially canned chickpeas as potential egg replacer for the development of vegan mayonnaise: Recipe optimisation and storage stability. *International Journal of Food Science & Technology*, 55(5), 1935-1942. <https://doi.org/10.1111/ijfs.14427>
19. Reis, S.F., Fernandes, P.A., Martins, V.J., Gonçalves, S., Ferreira, L.P., Gaspar, V.M., & Coelho, E. (2023). Brewer's spent yeast cell wall polysaccharides as vegan and clean label additives for mayonnaise formulation. *Molecules*, 28(8), 3540. <https://doi.org/10.3390/molecules28083540>
20. Schädle, C.N., Bader-Mittermaier, S., & Sanahuja, S. (2022). Characterization of reduced-fat mayonnaise and comparison of sensory perception, rheological, tribological, and textural analyses. *Foods*, 11(6), 806. <https://doi.org/10.3390/foods11060806>
21. Seid Mohammadifard, S.Z., Zarringhalami, S., Zandi, M., & Pakpour, M. (2023). Influence of the mucilage and chia seed (*Salvia hispanica* L.) oil addition on the physicochemical and sensory properties of yoghurt during storage time. *Iranian Journal of Food Sciences and Industries*, 19(132). <https://doi.org/10.22034/FSCT.19.132.237>
22. Shaygannia, S., Eshaghi, M.R., Fazel, M., & Hashemiravan, M. (2021). The effect of microencapsulation of phenolic compounds from lemon waste by Persian and basil seed gums on the chemical and microbiological properties of mayonnaise. *Preventive Nutrition and Food Science*, 26(1), 82. <https://doi.org/10.3746/pnf.2021.26.1.82>
23. Sonawane, S.K., Gokhale, J.S., Mulla, M.Z., Kandur, V.R., & Patil, S. (2021). A comprehensive overview of functional and rheological properties of aloe vera and its application in foods. *Journal of Food Science and Technology*, 58, 1217-1226. <https://doi.org/10.1007/s13197-020-04661-6>
24. Taghavi, E., Andriani, C., Nordin, N., Awang Seruji, A.Z.R., Wan Rasdi, N., & Abdul Hadi, N. (2024). Rheological and stability of mayonnaise-based Pickering emulsions stabilised by modified rice starch granules as a plant-based emulsifier. *International Journal of Food Science & Technology*. <https://doi.org/10.1111/ijfs.17292>
25. Wang, W., Hu, C., Sun, H., Zhao, J., Xu, C., Ma, Y., & Hou, J. (2022). Physicochemical properties, stability and texture of soybean-oil-body-substituted low-fat mayonnaise: effects of thickeners and storage temperatures. *Foods*, 11(15), 2201. <https://doi.org/10.3390/foods11152201>
26. Yang, X., Gong, T., Lu, Y.H., Li, A., Sun, L., & Guo, Y. (2020). Compatibility of sodium alginate and konjac glucomannan and their applications in fabricating low-fat mayonnaise-like emulsion gels. *Carbohydrate Polymers*, 229, 115468. <https://doi.org/10.1016/j.carbpol.2019.115468>